

Computer Vision

Lingjie Zhang

2024 SS

This course is based on the lecture EI70110 of Technical University of
Munich

Contents

1	Wissenswertes über Bilder	1
1.1	Darstellung von Bildern	1
1.2	Bildgradient	4
1.2.1	Der Gradient eines Bildes	4
1.2.2	Diskretes und kontinuierliches Signal	4
1.2.3	Die diskrete Ableitung	5
1.2.4	Zweidimensionale Rekonstruktion	6
1.2.5	Zweidimensionale Ableitung	6
1.2.6	Endliche Approximation des Gaußfilters	7
1.2.7	Sobel-Filter	8
1.2.8	Zusammenfassung	8
1.3	Merkmalspunkte-Ecken und Kanten	9
1.3.1	Ecken und Kanten	9
1.3.2	Harrie Ecken- und Kantendetektor	9
1.3.3	Praktische Realisierung des Harris-Detektors	11
1.3.4	Zusammenfassung	12

1 Wissenswertes über Bilder

1.1 Darstellung von Bildern

Von Farbbild zum Intensitätsbild

- Farbbilder bestehen aus mehreren Kanälen
- In diesem Kurs ausschließlich Graustufenbilder

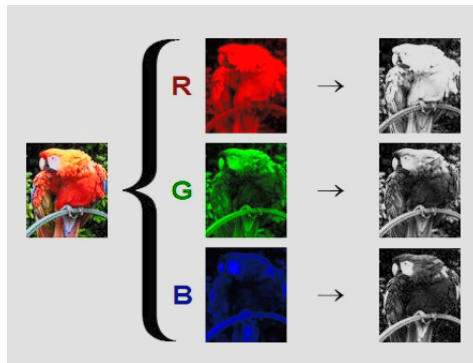


Figure 1.1: RGB image

Kontinuierliche und diskrete Darstellung

- **Kontinuierliche** Darstellung als Funktion zweier Veränderlicher (zum Herleiten von Algorithmen) $I : \mathbb{R}^2 \supset \Omega \rightarrow \mathbb{R}, (x, y) \mapsto I(x, y)$
- Häufige Annahmen:
 - I differenzierbar
 - Ω einfach zusammenhängend und beschränkt
- Diskrete Darstellung als Matrix $I \in \mathbb{R}^{m \times n}$
Eintrag $I_{k,l}$ entspricht dem Intensitätswert
- Skalierung typischerweise zwischen $[0, 255]$ oder $[0, 1]$

VGA: 480×640 Pixel (ca. 0.3 Megapixel)
HD: 720×1280 Pixel (ca. 1.0 Megapixel)
FHD: 1080×1920 Pixel (ca. 2.1 Megapixel)

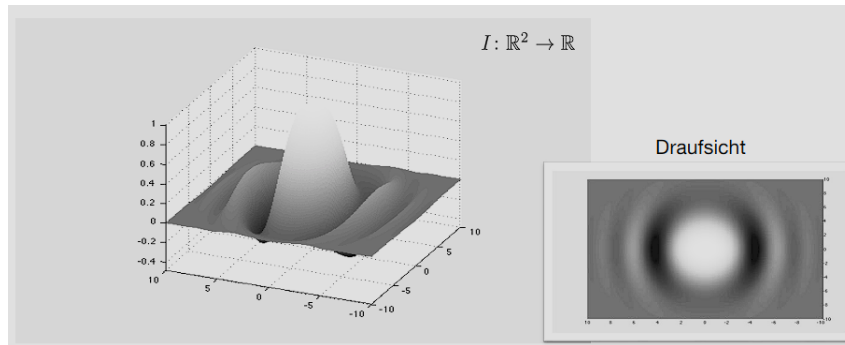


Figure 1.2: Graph einer Funktion

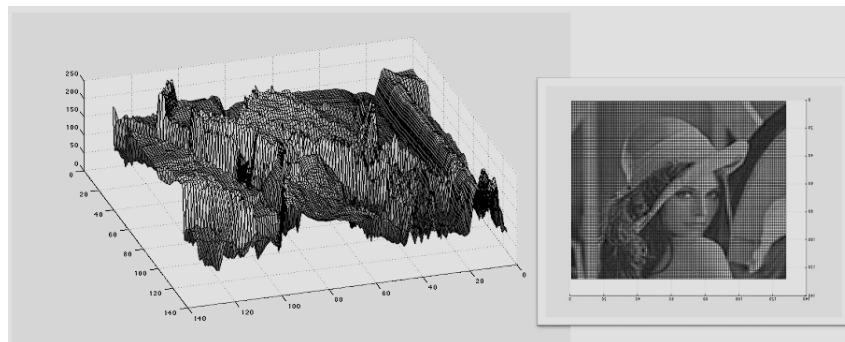


Figure 1.3: Graph eines Fotos

Diskretes Abtasten

- Abtasten eines eindimensionalen Signals

$$S\{f(x)\} = (\dots, f(x-1), f(x), f(x+1), \dots)$$

- Abtasten eines Bildes

$$S\{I(x, y)\} = \begin{bmatrix} \ddots & \vdots & \vdots & \vdots & \\ \cdots & I(x-1, y-1) & I(x-1, y) & I(x-1, y+1) & \cdots \\ \cdots & I(x, y-1) & I(x, y) & I(x, y+1) & \cdots \\ \cdots & I(x+1, y-1) & I(x+1, y) & I(x+1, y+1) & \cdots \\ & \vdots & \vdots & \vdots & \ddots \end{bmatrix}$$

Diskrete Darstellung/Matrixdarstellung

- Annahme: Ursprung links oben
- Matrixeintrag ist $I_{k,l} = S\{I(0,0)\}_{kl}$

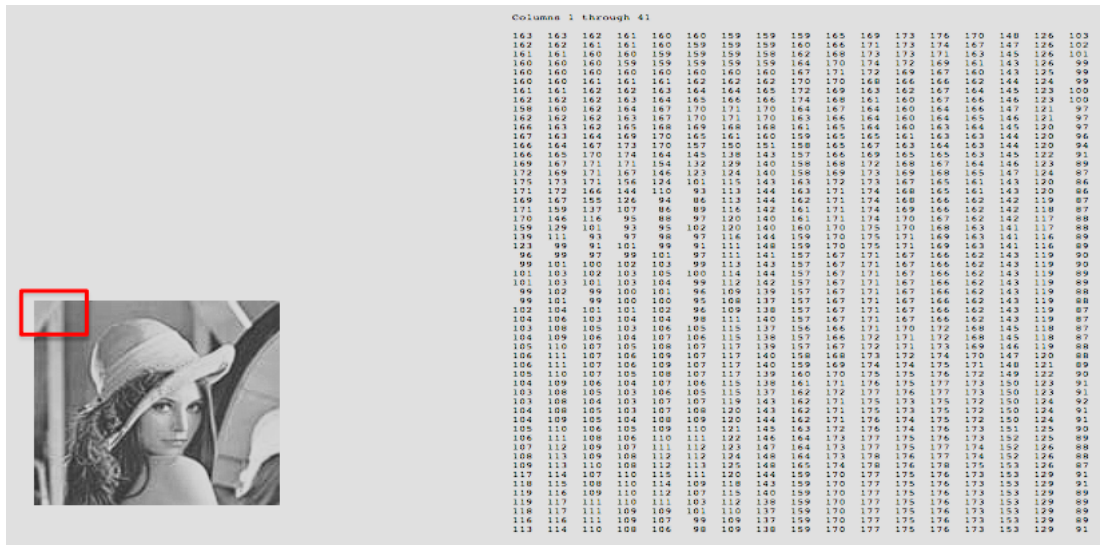


Figure 1.4: Diskrete Darstellung/Matrixdarstellung

Zusammenfassung

- Bilder in Grautönen
- Bilder als Matrizen
- Bilder als glatte Funktionen

1.2 Bildgradient

1.2.1 Der Gradient eines Bildes



Figure 1.5: Der Gradient eines Bildes

Kanten sind starke lokale Änderungen der Intensität. Lokale Änderungen werden durch den Gradienten beschrieben.

$$\nabla I(x, y) = \begin{bmatrix} \frac{\partial}{\partial x} I(x, y) \\ \frac{\partial}{\partial y} I(x, y) \end{bmatrix}$$

Wie schätzt man den Gradienten? Gegeben ist das Bild in diskreter Form $I \in \mathbb{R}^{m \times n}$.

$$\frac{\partial}{\partial x} I(x, y) \approx I(x + 1, y) - I(x, y)$$
$$\frac{\partial}{\partial y} I(x, y) \approx I(x, y + 1) - I(x, y)$$

1.2.2 Diskretes und kontinuierliches Signal

Interpolation Vom diskreten Signal $f[x] = S\{f(x)\}$ zum kontinuierlichen Signal $f(x)$. Interpoliertes Signal ist Faltung der Abtastwerte mit dem Interpolationsfilter.

$$f(x) \approx \sum_{k=-\infty}^{\infty} f[k]h(x - k) =: f[x] * h(x)$$

Interpolationsfilter Diskretes Signal: $f[x] = S\{f(x)\}$. Kontinuierliches Signal: $f(x) \approx f[x] * h(x)$.

- Gaußfilter: $h(x) = g(x)$
- Ideales Interpolationsfilter: $h(x) = \text{sinc}(x)$
- Damit gilt: $f[x] * h(x) = f(x)$

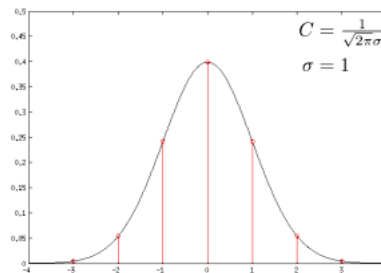


Figure 1.6: $g(x) = C e^{\frac{-x^2}{2\sigma^2}}$

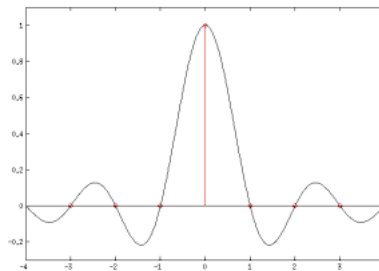


Figure 1.7: $\text{sinc}(x) = \frac{\sin(\pi x)}{\pi x}, \text{sinc}(0) := 1$

1.2.3 Die diskrete Ableitung

Mit Hilfe des rekonstruierten Signals

- Algorithmisch
 1. Rekonstruktion des kontinuierlichen Signals
 2. Ableitung des kontinuierlichen Signals
 3. Abtastung der Ableitung
- Herleitung

$$\begin{aligned}
- \quad f'(x) &\approx \frac{d}{dx}(f[x] * h(x)) \\
&f[x] * h'(x) \\
- \quad f'[x] &= f[x] * h'[x] \\
&= \sum_{k=-\infty}^{\infty} f[x-k]h'[k]
\end{aligned}$$

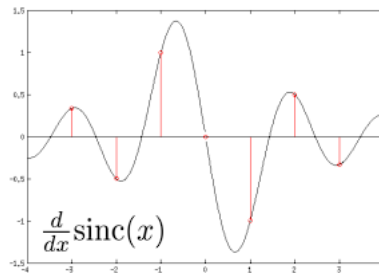


Figure 1.8: Sinc-Funktion(Langsames Abklingen)

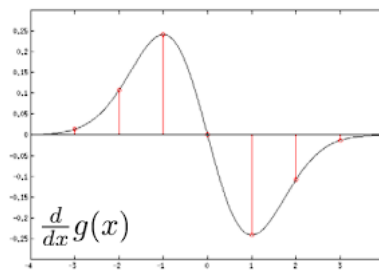


Figure 1.9: Gaußfilter(Schnelles Abklingen)

1.2.4 Zweidimensionale Rekonstruktion

Separables 2D-Gaußfilter 2D-Rekonstruktion:

$$I(x, y) \approx I[x, y] * h(x, y) = \sum_{k=-\infty}^{\infty} \sum_{l=-\infty}^{\infty} I[k, l]g(x-k)g(y-l)$$

1.2.5 Zweidimensionale Ableitung

Ausnutzen der Separabilität Ableitung in x-Richtung

$$\begin{aligned}
\frac{d}{dx}I(x, y) &\approx I[x, y] * \left(\frac{d}{dx}h(x, y)\right) \\
&= \sum_{k=-\infty}^{\infty} \sum_{l=-\infty}^{\infty} I[k, l]g'[x-k]g(y-l)
\end{aligned}$$

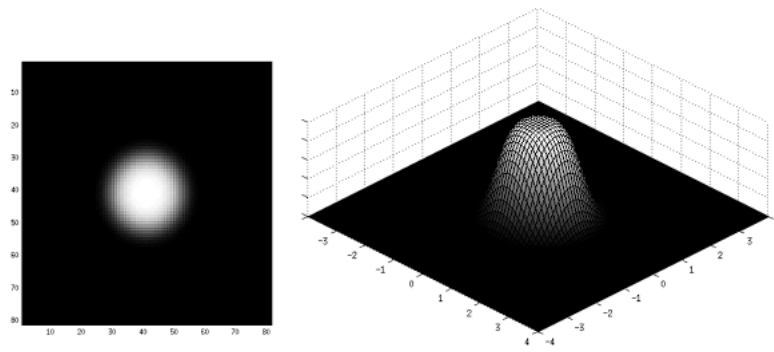


Figure 1.10: $h(x, y) := g(x)g(y)$

$$\begin{aligned}
 S\left\{\frac{d}{dx}I(x, y)\right\} &= I[x, y] * g'[x] * g[y] \\
 &= \sum_{k=-\infty}^{\infty} \sum_{l=-\infty}^{\infty} I[x - k, y - l] g'[k] g[l]
 \end{aligned}$$

1.2.6 Endliche Approximation des Gaußfilters

Normierung des endlichen Filters

- In der Praxis wird die unendliche Summe durch wenige Summanden approximiert
- Wie wählt man eine geeignete Gewichtung C des Gaußfilters $g(x) = Ce^{\frac{-x^2}{2\sigma^2}}$?
- Interpoliertes Signal: $f(x) \approx \sum_{k=-\infty}^{\infty} f[k]g(x - k)$
- Abgetastetes interpoliertes Signal: $f[x] \approx \sum_{k=-\infty}^{\infty} f[x - k]g[k]$
- Approximation durch endliche Summe: $f[x] \approx \sum_{k=-n}^n f[x - k]g[k]$
- Die endliche Approximation von $f[x]$ ist eine gewichtete Summe der Werte $f[x - n], \dots, f[x + n]$ mit den Gewichten $g[n], \dots, g[-n]$
- Normierungskonstante C so gewählt, dass sich alle Gewichte zu 1 addieren
- Wähle $C = \frac{1}{\sum_{-n \leq k \leq n} e^{\frac{-k^2}{2\sigma^2}}}$

1.2.7 Sobel-Filter

Herleitung

- Approximation von

$$S\left\{\frac{d}{dx}I(x, y)\right\} = I[x, y] * g'[x] * g[y] = \sum_{k=-\infty}^{\infty} \sum_{l=-\infty}^{\infty} I[x-k, y-l]g'[k]g[l] \text{ durch}$$

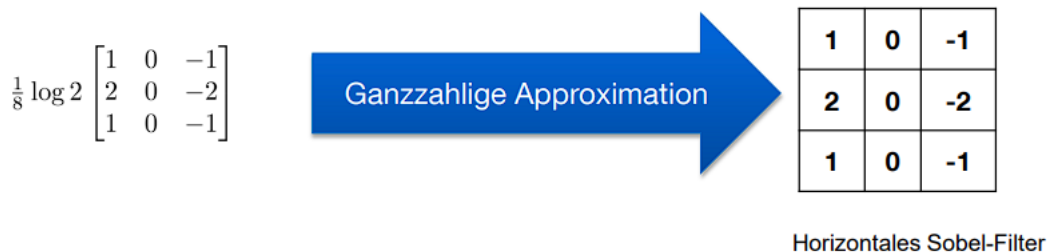
endliche Summe $\sum_{k=-1,0,1} \sum_{l=-1,0,1} I[x-k, y-l]g'[k]g[l]$

- Daraus folgt der Normierungsfaktor $C = \frac{1}{1+2e^{-\frac{1}{2\sigma^2}}}$
- Für die Wahl $\sigma = \sqrt{\frac{1}{2\log 2}}$ ergeben sich somit die Werte

$$g[-1] = \frac{1}{4}; g[0] = \frac{1}{2}; g[1] = \frac{1}{4}$$

$$g'[-1] = \frac{1}{2} \log 2; g'[0] = 0; g'[1] = -\frac{1}{2} \log 2 \quad \left(\frac{1}{2} \log 2 \approx 0.35\right)$$

- Aus praktischen Gründen sind ganzzahlige Filterkoeffizienten erwünscht
- Für das Detektieren von Intensitätsunterschieden ist ein Vielfaches des Gradienten ausreichend



Beispiel

1.2.8 Zusammenfassung

- Der Bildgradient ist ein wichtiges Werkzeug für die Bestimmung von lokalen Intensitätsänderungen
- Diskrete Ableitung wird durch Differenzieren des interpolierten Signals berechnet
- Sobel-Filter sind ganzzahlige Approximation eines Vielfachen des Gradienten

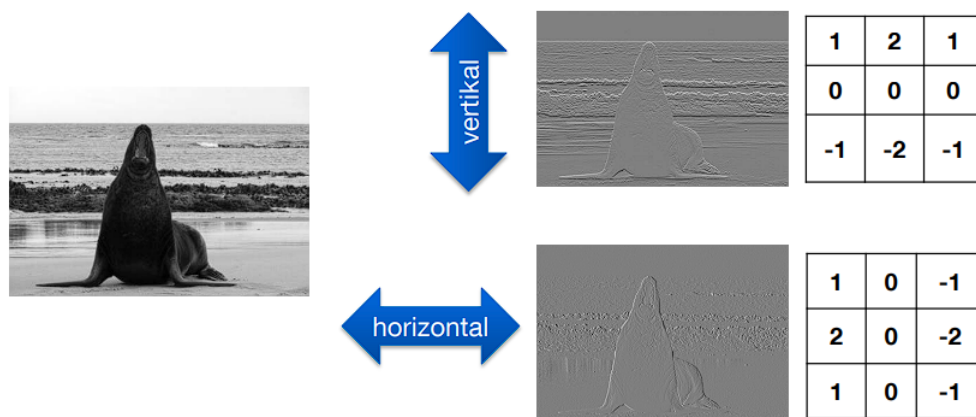


Figure 1.11: Sobel-Filterung

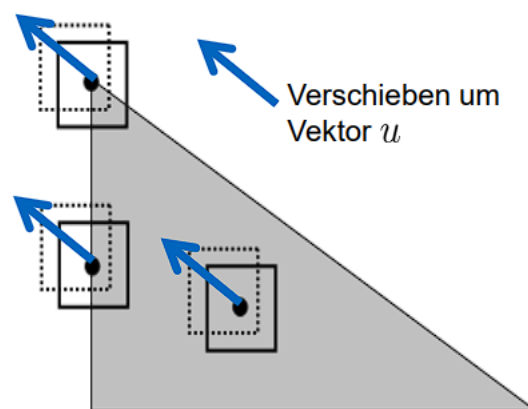
1.3 Merkmalspunkte-Ecken und Kanten

1.3.1 Ecken und Kanten

...liefern markante Bildmerkmale

- Bestimmung von Konturen
- Berechnungen von Bewegungen in Bildsequenzen
- Schätzen von Kamerabewegung
- Registrierung von Bildern
- 3D-Rekonstruktion

1.3.2 Harris Ecken- und Kantendetektor



Änderung des Bildsegments in Abhängigkeit der Verschiebung

- Ecke: Verschiebung in jede Richtung bewirkt Änderung
- Kante: Verschiebung in jede bis auf genau eine Richtung bewirkt Änderung
- Homogene Fläche: Keine Änderung, egal in welche Richtung

Formelle Beschreibung der Änderung

- Position im Bild: $x = \begin{bmatrix} x_1 \\ x_2 \end{bmatrix}$, $I(x) = I(x_1, x_2)$
- Verschiebungsrichtung: $u = \begin{bmatrix} u_1 \\ u_2 \end{bmatrix}$
- Änderung des Bildsegments:

$$S(u) = \int_W (I(x+u) - I(x))^2 dx$$

- Differenzierbarkeit von I :

$$\lim_{u \rightarrow 0} \frac{I(x+u) - I(x) - \nabla I(x)^\top u}{\|u\|} = 0$$

Approximation der Änderung

- Folgerung aus Differenzierbarkeit: $I(x+u) - I(x) = \nabla I(x)^\top u + o(\|u\|)$
- Restterm $o(\|u\|)$ mit der Eigenschaft $\lim_{u \rightarrow 0} o(\|u\|)/\|u\| = 0$
- Approximation für kleine Verschiebungen: $I(x+u) - I(x) \approx \nabla I(x)^\top u$
- Approximation der Änderung im Bildsegment:

$$S(u) = \int_W (I(x+u) - I(x))^2 dx \approx \int_W (\nabla I(x)^\top u)^2 dx$$

Die Harris-Matrix

- Ausmultiplizieren des Integrals:

$$S(u) = \int_W (\nabla I(x)^\top u)^2 dx = u^\top \left(\int_W \nabla I(x) \nabla I(x)^\top dx \right) u$$

- Harris-Matrix: $G(x) = \int_W \nabla I(x) \nabla I(x)^\top ds$

$$\nabla I(x) \nabla I(x)^\top = \begin{bmatrix} \left(\frac{\partial}{\partial x_1} I(x)\right)^2 & \frac{\partial}{\partial x_1} I(x) \frac{\partial}{\partial x_2} I(x) \\ \frac{\partial}{\partial x_2} I(x) \frac{\partial}{\partial x_1} I(x) & \left(\frac{\partial}{\partial x_2} I(x)\right)^2 \end{bmatrix}$$

- Approximative Änderung des Bildsegments:

$$S(u) \approx u^\top G(x) u$$

Eigenwertzerlegung

- Eigenwertzerlegung der Harris-Matrix:

$$G(x) = \int_W \nabla I(x) \nabla I(x)^\top dx = V \begin{bmatrix} \lambda_1 & \\ & \lambda_2 \end{bmatrix} V^\top$$

mit $VV^\top = I_2$ und den Eigenwerten $\lambda_1 \leq \lambda_2 \leq 0$

- Änderung in Abhängigkeit der Eigenvektoren: $V = [v_1, v_2]$

$$S(u) \approx u^\top G(x) u = \lambda_1 (u^\top v_1)^2 + \lambda_2 (u^\top v_2)^2$$

Art des Merkmals in Abhängigkeit der Eigenwerte

- Beide Eigenwerte positive
 - $S(u) > 0$ für alle u (Änderung in jede Richtung)
 - Untersuchtes Bildsegment enthält eine Ecke
- Ein Eigenwert positiv, ein Eigenwert gleich null
 - $S(u) \begin{cases} = 0, & \text{falls } u = rv_2 \\ > 0, & \text{sonst} \end{cases}$ (Keine Änderung nur in Richtung des Eigenvektors zum Eigenwert 0)
 - Untersuchtes Bildsegment enthält eine Kante
- Beide Eigenwerte gleich null
 - $S(u) = 0$ für alle u (Keine Änderung, egal in welche Richtung)
 - Untersuchtes Bildsegment ist eine homogene Fläche

1.3.3 Praktische Realisierung des Harris-Detektors

Berechnung der Harris-Matrix

- Approximiere $G(x)$ durch endliche Summe

$$G(x) = \int_W \nabla I(x) \nabla I(x)^\top dx \approx \sum_{\tilde{x} \in W(x)} \nabla I(\tilde{x}) \nabla I(\tilde{x})^\top$$

- Gewichtete Summe in Abhängigkeit der Position von \tilde{x}

$$G(x) \approx \sum_{\tilde{x} \in W(x)} w(\tilde{x}) \nabla I(\tilde{x}) \nabla I(\tilde{x})^\top$$

- Gewichte $w(\tilde{x}) > 0$ betonen Einfluss der zentralen Pixel

Eigenwerte

- In der Realität nehmen Eigenwerte nie genau den Wert Null an, z.B. auf Grund von Rauschen, diskreter Abtastung und numerischen Ungenauigkeiten
- Charakteristik in der Praxis
 - Ecke: zwei große Eigenwerte
 - Kante: ein großer Eigenwert, ein kleiner Eigenwert
 - Homogene Fläche: zwei kleine Eigenwerte
- Entscheidung mittels empirischer Schwellwerte

Ein einfaches Kriterium für Ecken und Kanten

- Betrachte die Größe $H := \det(G) - k(\text{tr}(G))^2 = (1 - 2k)\lambda_1\lambda_2 - k(\lambda_1^2 + \lambda_2^2)$
- Ecke (beide Eigenwerte groß)
 - H größer als ein positiver Schwellwert
- Kante (ein Eigenwert groß, ein Eigenwert klein)
 - H kleiner als ein negativer Schwellwert
- Homogene Fläche (beide Eigenwerte klein)
 - H betragsmäßig klein

1.3.4 Zusammenfassung

Harris-Detektor zur Bestimmung von Merkmalspunkten

- Auswertung der (approximierten) Harris-Matrix

$$G(x) \approx \sum_{\tilde{x} \in W(x)} w(\tilde{x}) \nabla I(\tilde{x}) \nabla I(\tilde{x})^\top$$

- Eigenwertzerlegung von $G(x)$ liefert auch Info über Richtung etwaiger Kanten
- Effiziente Implementierung mit Hilfe des Ausdrucks

$$H := \det(G) - k(\text{tr}(G))^2$$

- Entscheidung mittels Schwellwerten
 - Ecke: $0 < \tau_+ < H$
 - Kante: $H < \tau_- < 0$
 - Homogene Fläche: $\tau_- < H < \tau_+$